

# **Universidade Estadual de Campinas**

Departamento de Estatística

**ME524 - Computação Aplicada à Estatística**

Professor Guilherme Ludwig

## **Atividade 2**

Luiz Felipe de Oliveira Barbosa Nunes - 255403

Campinas - SP  
Novembro de 2024

# 1 Introdução

Nesta segunda atividade da disciplina **ME524 - Computação Aplicada à Estatística**, será desenvolvido um estudo baseado em um exercício adaptado de Greene (2008, p.240), utilizando modelos não-lineares disponibilizados pelo **National Institute of Standards and Technology (NIST)**. Esses modelos são projetados para avaliar a precisão e a eficiência de métodos computacionais de otimização. O objetivo principal da atividade é implementar os métodos de **Newton-Raphson**, **Gradient Descent** e **Line Search** para minimizar as funções de perda associadas a cada modelo. Adicionalmente, serão realizadas comparações entre as estimativas obtidas e os valores de referência, analisando não apenas a qualidade dos ajustes, mas também o desempenho computacional de cada método em termos de convergência e eficiência.

Os dois modelos considerados são:

- **Modelo 1: Misra1a**

O modelo Misra1a (NIST, 2024) descreve estudos de adsorção de fluidos nos dentes e é definido por:

$$y_i = \beta_1 (1 - e^{-\beta_2 x_i}) + \epsilon_i, \quad i = 1, \dots, n.$$

- Parâmetros:  $\beta_1$  e  $\beta_2$  (reais e desconhecidos). - Dados disponíveis: listados no apêndice. - Valores iniciais:

$$\beta_1^{(0)} = (500, 0.0001)^T, \quad \beta_2^{(0)} = (250, 0.0005)^T.$$

- **Modelo 2: Thurber**

O modelo Thurber (NIST, 2024) representa a mobilidade de elétrons em semicondutores e é definido por:

$$y_i = \frac{\beta_1 + \beta_2 x_i + \beta_3 x_i^2 + \beta_4 x_i^3}{1 + \beta_5 x_i + \beta_6 x_i^2 + \beta_7 x_i^3} + \epsilon_i, \quad i = 1, \dots, n.$$

- Parâmetros:  $\beta_1, \beta_2, \dots, \beta_7$  (reais e desconhecidos). - Dados disponíveis: listados no apêndice. - Valores iniciais:

$$\beta_1^{(0)} = (1000, 1000, 400, 40, 0.7, 0.3, 0.03)^T, \quad \beta_2^{(0)} = (1300, 1500, 500, 75, 1, 0.4, 0.05)^T.$$

## 2 Resposta para o Modelo 1

A função de perda quadrática é definida como:

$$Q(\beta) = \sum_{i=1}^n [y_i - \beta_1 (1 - e^{-\beta_2 x_i})]^2$$

**Gradiente**

**Derivada em relação a  $\beta_1$ :**

$$Q(\beta) = \sum_{i=1}^n [y_i - \beta_1 + \beta_1 e^{-\beta_2 x_i}]^2$$

$$\frac{\partial Q}{\partial \beta_1} = 2 \sum_{i=1}^n [y_i - \beta_1 (1 - e^{-\beta_2 x_i})] \cdot \frac{\partial}{\partial \beta_1} [y_i - \beta_1 (1 - e^{-\beta_2 x_i})]$$

$$\frac{\partial}{\partial \beta_1} [y_i - \beta_1 (1 - e^{-\beta_2 x_i})] = -(1 - e^{-\beta_2 x_i})$$

$$\frac{\partial Q}{\partial \beta_1} = -2 \sum_{i=1}^n [y_i - \beta_1 (1 - e^{-\beta_2 x_i})] \cdot (1 - e^{-\beta_2 x_i}) = (-2 + 2e^{-\beta_2 x_i})(-\beta_1(1 - e^{-\beta_2 x_i}) + y_i)$$

**Derivada em relação a  $\beta_2$ :**

$$\frac{\partial Q}{\partial \beta_2} = 2 \sum_{i=1}^n [y_i - \beta_1 (1 - e^{-\beta_2 x_i})] \cdot \frac{\partial}{\partial \beta_2} [y_i - \beta_1 (1 - e^{-\beta_2 x_i})]$$

$$\frac{\partial}{\partial \beta_2} [y_i - \beta_1 (1 - e^{-\beta_2 x_i})] = \beta_1 x_i e^{-\beta_2 x_i}$$

$$\frac{\partial Q}{\partial \beta_2} = -2 \sum_{i=1}^n [y_i - \beta_1 (1 - e^{-\beta_2 x_i})] \cdot \beta_1 x_i e^{-\beta_2 x_i} = -2 \beta_1 x_i (-\beta_1 (1 - e^{-\beta_2 x_i}) + y_i) e^{-\beta_2 x_i}$$

**Hessiana**

A matriz Hessiana é dada por:

$$H(\beta) = \begin{bmatrix} \frac{\partial^2 Q}{\partial \beta_1^2} & \frac{\partial^2 Q}{\partial \beta_1 \partial \beta_2} \\ \frac{\partial^2 Q}{\partial \beta_2 \partial \beta_1} & \frac{\partial^2 Q}{\partial \beta_2^2} \end{bmatrix}$$

$$\frac{\partial^2 Q}{\partial \beta_1^2} = 2 \sum_{i=1}^n (1 - e^{-\beta_2 x_i})^2 = (-2 + 2e^{-\beta_2 x_i})(-1 + e^{-\beta_2 x_i})$$

$$\frac{\partial^2 Q}{\partial \beta_1 \partial \beta_2} = 2 \sum_{i=1}^n x_i e^{-\beta_2 x_i} (1 - e^{-\beta_2 x_i}) = -\beta_1 x_i (-2 + 2e^{-\beta_2 x_i}) e^{-\beta_2 x_i} - 2x_i (-\beta_1 (1 - e^{-\beta_2 x_i}) + y_i) e^{-\beta_2 x_i}$$

$$\frac{\partial^2 Q}{\partial \beta_2^2} = 2 \sum_{i=1}^n \beta_1^2 x_i^2 e^{-2\beta_2 x_i} - 2 \sum_{i=1}^n [y_i - \beta_1 (1 - e^{-\beta_2 x_i})] \cdot \beta_1 x_i^2 e^{-\beta_2 x_i} = 2\beta_1^2 x_i^2 e^{-2\beta_2 x_i} + 2\beta_1 x_i^2 (-\beta_1 (1 - e^{-\beta_2 x_i}) + y_i) e^{-\beta_2 x_i}$$

## 2.1 Resultados do Método de Newton-Raphson

Para ajustar os parâmetros do modelo 1, utilizamos o método de Newton-Raphson com dois valores iniciais. O critério de parada foi definido como  $\|\Delta\beta\|_2 < \epsilon$ , com  $\epsilon = 10^{-6}$ . Devido à proximidade da matriz Hessiana com singularidade, apliquei uma regularização adicionando um termo  $\gamma$  à diagonal da Hessiana, resultando em:

$$H_{\text{reg}} = H + \gamma I$$

onde  $H$  é a matriz Hessiana original e  $\gamma = 0.3$  foi escolhido para garantir estabilidade numérica e convergência.

Os resultados obtidos foram:

- Para  $\beta^{(0)} = [500, 0.0001]$ :

$$\beta^* = \begin{bmatrix} 448.8459 \\ 0.000272 \end{bmatrix}$$

- Para  $\beta^{(0)} = [250, 0.0005]$ :

$$\beta^* = \begin{bmatrix} 238.9547 \\ 0.0005501 \end{bmatrix}$$

Após testes com diferentes valores de  $\gamma$ , valores entre 0.3 a 1 eram valores bons. Portanto, escolhi  $\gamma = 0.3$ , pois esse valor garantiu a inversibilidade da Hessiana regularizada.

## 2.2 Line Search no Método de Newton-Raphson

O método de Newton-Raphson pode ser aprimorado por meio de uma estratégia de *line search*, na qual buscamos um tamanho de passo  $\gamma_k \in (0, 1)$  que minimize a função objetivo ao longo da direção de atualização definida pelo método. Essa abordagem é especialmente útil em cenários onde as derivadas da função objetivo apresentam instabilidades ou quando a matriz Hessiana está próxima de ser singular, como identificado neste caso.

As Figuras 1 e 2 ilustram o comportamento da função objetivo em relação aos valores de  $\gamma \in [0.01, 1]$ , considerando o primeiro e o segundo conjuntos de valores iniciais, respectivamente. A função objetivo foi avaliada como a soma dos quadrados do gradiente regularizado.

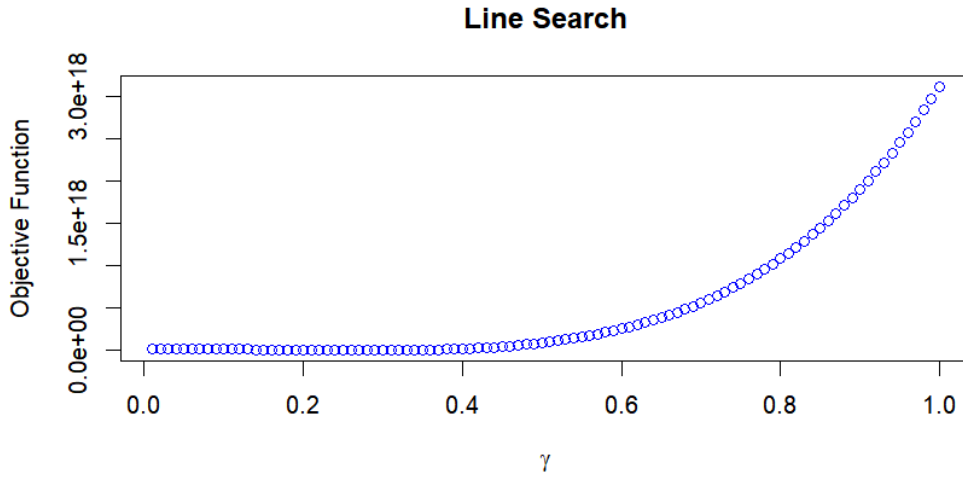


Figura 1: Gráfico do Line Search para diferentes valores de  $\gamma$  considerando o primeiro conjunto de valores iniciais.

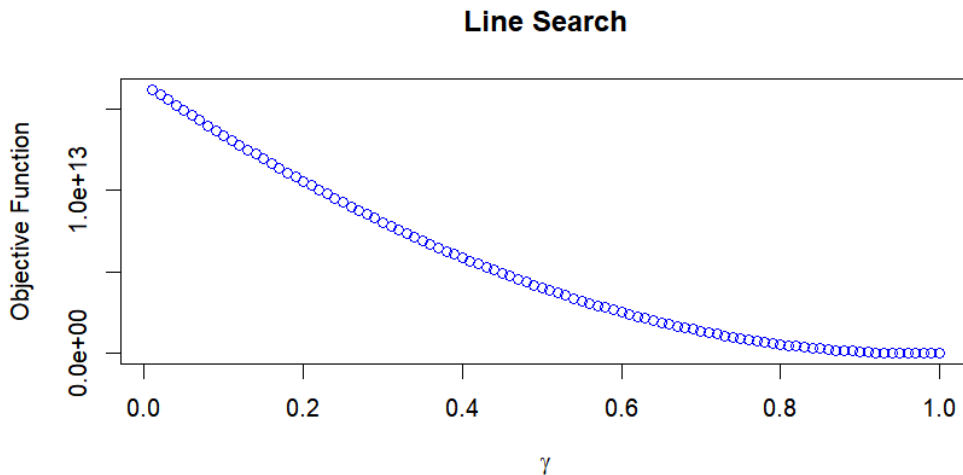


Figura 2: Gráfico do Line Search para diferentes valores de  $\gamma$  considerando o segundo conjunto de valores iniciais.

Com base nos gráficos, verificamos que o valor  $\gamma = 0.1$  demonstrou ser um ponto de equilíbrio adequado entre estabilidade e eficiência na Figura 1. Enquanto, na 2, verificamos que o valor  $\gamma = 1$  demonstrou ser um ponto de equilíbrio adequado entre estabilidade e eficiência.

Além disso, não foi necessário recorrer ao método da bisseção para buscar  $\gamma \in (0, 1)$ , pois o procedimento de *line search* permitiu identificar diretamente um valor apropriado de  $\gamma$  para os dois conjuntos de valores iniciais.

O método de Newton-Raphson com *line search* apresentou os seguintes resultados:

- Para o primeiro conjunto de valores iniciais, utilizando  $\gamma = 0.1$ , a convergência foi alcançada após 285 iterações. O vetor de parâmetros estimado foi:

$$\beta^* = \begin{bmatrix} 238.9421 \\ 0.0005502 \end{bmatrix}$$

- Para o segundo conjunto de valores iniciais, utilizando  $\gamma = 0.5$ , a convergência foi alcançada após 31 iterações. O vetor de parâmetros estimado foi:

$$\beta^* = \begin{bmatrix} 238.9421 \\ 0.0005502 \end{bmatrix}$$

Utilizando  $\gamma = 0.5$  no segundo conjunto de valores iniciais, o método foi eficiente, convergindo rapidamente para o mesmo resultado obtido no primeiro conjunto de valores iniciais. Pois, testes anteriores com  $\gamma = 1.0$  levaram à ocorrência de NA no *line search*, indicando que o intervalo de candidatos para  $\gamma$  pode não ser apropriado.

## 2.3 Resultados do Método de Gradient Descent com Line Search

### 2.3.1 Descida de Gradiente com Tamanho de Passo Dinâmico

Neste método, o tamanho de passo  $\gamma_k$  é ajustado dinamicamente em cada iteração de acordo com a fórmula:

$$\gamma_k = \gamma \cdot 2^{-k},$$

onde  $\gamma > 0$  é um valor inicial e  $k$  representa o número da iteração atual. A atualização dos parâmetros é feita segundo a seguinte expressão:

$$\beta_k = \beta_{k-1} - \gamma_k \nabla Q(\beta_{k-1}),$$

onde  $\nabla Q(\beta)$  é o gradiente da função objetivo calculado no ponto atual.

Os resultados para os dois conjuntos de valores iniciais foram:

- Para o primeiro conjunto de valores iniciais ( $\beta^{(0)} = [50, 0.001]$ ), a convergência foi alcançada na iteração 28 com  $\gamma_k = 3.725 \times 10^{-10}$ . O vetor de parâmetros estimado foi:

$$\beta^* = \begin{bmatrix} 104.8982 \\ 7869687.4451 \end{bmatrix}$$

- Para o segundo conjunto de valores iniciais ( $\beta^{(0)} = [100, 0.0005]$ ), a convergência foi alcançada na iteração 27 com  $\gamma_k = 7.450 \times 10^{-10}$ . O vetor de parâmetros estimado foi:

$$\beta^* = \begin{bmatrix} 71.16247 \\ 203191.7789 \end{bmatrix}$$

### 2.3.2 Descida de Gradiente com Tamanho de Passo Fixo

Neste método, o tamanho de passo  $\gamma$  é mantido constante em todas as iterações. A atualização dos parâmetros segue a fórmula:

$$\beta_k = \beta_{k-1} - \gamma \nabla Q(\beta_{k-1}),$$

onde  $\gamma$  é um valor fixo especificado antes do início do algoritmo. Neste caso, utilizamos  $\gamma = 0.02$ .

Os resultados para os dois conjuntos de valores iniciais foram:

- Para o primeiro conjunto de valores iniciais ( $\beta^{(0)} = [50, 0.001]$ ), a convergência foi alcançada na iteração 26. O vetor de parâmetros estimado foi:

$$\beta^* = \begin{bmatrix} 43.34071 \\ 3147875 \end{bmatrix}$$

- Para o segundo conjunto de valores iniciais ( $\beta^{(0)} = [100, 0.0005]$ ), a convergência foi alcançada na iteração 25. O vetor de parâmetros estimado foi:

$$\beta^* = \begin{bmatrix} 43.34071 \\ 81276.71186 \end{bmatrix}$$

## 2.4 Comparação com os Resultados Certificados

Os resultados obtidos para o Modelo 1 foram comparados com os valores certificados fornecidos no site de referência. Abaixo estão apresentados os valores para  $\beta_1$  e  $\beta_2$ , bem como o número de iterações necessário para a convergência.

Os valores certificados são:

$$\beta_1 = 238.94212918, \quad \beta_2 = 5.5015643181 \times 10^{-4}$$

com os seguintes parâmetros adicionais:

- **Soma dos Quadrados dos Resíduos:** 1.2455138894E-01
- **Desvio Padrão:** 1.0187876330E-01
- **Graus de Liberdade:** 12

Os resultados indicam que:

- O método de Newton-Raphson apresentou os valores mais próximos aos resultados certificados, especialmente para o segundo conjunto de valores iniciais. Além disso, convergiu rapidamente no segundo conjunto de valores iniciais (31 iterações).
- O método de gradient descent com tamanho de passo dinâmico ( $\gamma_k = \gamma \cdot 2^{-k}$ ) apresentou valores de  $\beta$  que divergem consideravelmente dos valores certificados. Apesar disso, ele mostrou um número moderado de iterações.
- O método de gradient descent com tamanho de passo fixo ( $\gamma = 0.02$ ) também apresentou resultados muito distantes dos valores certificados.

Portanto, o método de Newton-Raphson com regularização ( $\gamma = 0.3$ ) se mostrou o mais robusto e eficiente para este problema, sendo o mais adequado para ajustes do Modelo 1.

## 3 Resposta para o Modelo 2

A função de perda quadrática para o modelo 2 é definida como:

$$Q(\beta) = \sum_{i=1}^n [y_i - f(x_i, \beta)]^2$$

onde:

$$f(x_i, \beta) = \frac{\beta_1 + \beta_2 x_i + \beta_3 x_i^2 + \beta_4 x_i^3}{1 + \beta_5 x_i + \beta_6 x_i^2 + \beta_7 x_i^3}$$

**Gradiente****Derivada em relação a  $\beta_1$ :**

$$\frac{\partial Q}{\partial \beta_1} = -2 \sum_{i=1}^n \frac{[y_i - f(x_i, \beta)]}{1 + \beta_5 x_i + \beta_6 x_i^2 + \beta_7 x_i^3}$$

**Derivada em relação a  $\beta_2$ :**

$$\frac{\partial Q}{\partial \beta_2} = -2 \sum_{i=1}^n \frac{x_i [y_i - f(x_i, \beta)]}{1 + \beta_5 x_i + \beta_6 x_i^2 + \beta_7 x_i^3}$$

**Derivada em relação a  $\beta_3$ :**

$$\frac{\partial Q}{\partial \beta_3} = -2 \sum_{i=1}^n \frac{x_i^2 [y_i - f(x_i, \beta)]}{1 + \beta_5 x_i + \beta_6 x_i^2 + \beta_7 x_i^3}$$

**Derivada em relação a  $\beta_4$ :**

$$\frac{\partial Q}{\partial \beta_4} = -2 \sum_{i=1}^n \frac{x_i^3 [y_i - f(x_i, \beta)]}{1 + \beta_5 x_i + \beta_6 x_i^2 + \beta_7 x_i^3}$$

**Derivada em relação a  $\beta_5$ :**

$$\frac{\partial Q}{\partial \beta_5} = 2 \sum_{i=1}^n \frac{x_i [y_i - f(x_i, \beta)] (\beta_1 + \beta_2 x_i + \beta_3 x_i^2 + \beta_4 x_i^3)}{(1 + \beta_5 x_i + \beta_6 x_i^2 + \beta_7 x_i^3)^2}$$

**Derivada em relação a  $\beta_6$ :**

$$\frac{\partial Q}{\partial \beta_6} = 2 \sum_{i=1}^n \frac{x_i^2 [y_i - f(x_i, \beta)] (\beta_1 + \beta_2 x_i + \beta_3 x_i^2 + \beta_4 x_i^3)}{(1 + \beta_5 x_i + \beta_6 x_i^2 + \beta_7 x_i^3)^2}$$

**Derivada em relação a  $\beta_7$ :**

$$\frac{\partial Q}{\partial \beta_7} = 2 \sum_{i=1}^n \frac{x_i^3 [y_i - f(x_i, \beta)] (\beta_1 + \beta_2 x_i + \beta_3 x_i^2 + \beta_4 x_i^3)}{(1 + \beta_5 x_i + \beta_6 x_i^2 + \beta_7 x_i^3)^2}$$

**Hessiana**

A matriz Hessiana do Modelo 2 é uma matriz  $7 \times 7$  calculada a partir da função de perda quadrática  $Q(\beta)$ . Cada elemento da matriz é dado por:

$$H_{i,j} = \frac{\partial^2 Q}{\partial \beta_i \partial \beta_j}$$

As derivadas parciais que compõem a matriz Hessiana apresentam padrões relacionados aos termos  $x, x^2, x^3$  e às combinações com os denominadores do modelo. Esses padrões incluem:

**1. Diagonal Principal ( $H_{i,i}$ ):**

Para os parâmetros  $\beta_1, \beta_2, \beta_3$  e  $\beta_4$ , as derivadas são proporcionais a  $x^k$ , onde  $k = 0, 1, 2, 3$ , multiplicados pelo inverso do denominador elevado ao quadrado:

$$H_{i,i} = \sum_{i=1}^n \frac{2 x^{2(k-1)}}{(1 + \beta_5 x_i + \beta_6 x_i^2 + \beta_7 x_i^3)^2}$$

### 2. Cruzamentos com $\beta_5, \beta_6, \beta_7$ :

Os cruzamentos entre  $\beta_1, \beta_2, \beta_3, \beta_4$  e os parâmetros  $\beta_5, \beta_6, \beta_7$  incluem produtos entre  $x^k$  e os termos associados ao numerador e denominador:

$$H_{i,j} = \sum_{i=1}^n \frac{2x^{(k+m)}}{(1 + \beta_5 x_i + \beta_6 x_i^2 + \beta_7 x_i^3)^2}$$

### 3. Padrão no Denominador:

Cada derivada parcial contém o fator  $1 + \beta_5 x + \beta_6 x^2 + \beta_7 x^3$  elevado a potências dependentes do grau de interação, como  $(1 + \beta_5 x + \beta_6 x^2 + \beta_7 x^3)^{-2}$  ou  $(1 + \beta_5 x + \beta_6 x^2 + \beta_7 x^3)^{-3}$ . Para elementos relacionados a  $\beta_5, \beta_6, \beta_7$ , há termos adicionais envolvendo interações com o numerador e os gradientes.

**Elemento  $H_{1,1}$ :**

$$H_{1,1} = \sum_{i=1}^n \frac{2}{(1 + \beta_5 x_i + \beta_6 x_i^2 + \beta_7 x_i^3)^2}$$

**Elemento  $H_{1,5}$ :**

$$H_{1,5} = \sum_{i=1}^n \frac{-4x_i (y_i - f(x_i, \beta)) (\beta_1 + \beta_2 x_i + \beta_3 x_i^2 + \beta_4 x_i^3)}{(1 + \beta_5 x_i + \beta_6 x_i^2 + \beta_7 x_i^3)^3}$$

**Elemento  $H_{5,5}$ :**

$$H_{5,5} = \sum_{i=1}^n \left( -4x_i^2 \frac{(y_i - f(x_i, \beta)) (\beta_1 + \beta_2 x_i + \beta_3 x_i^2 + \beta_4 x_i^3)}{(1 + \beta_5 x_i + \beta_6 x_i^2 + \beta_7 x_i^3)^3} + \frac{2x_i^4 (\beta_1 + \beta_2 x_i + \beta_3 x_i^2 + \beta_4 x_i^3)^2}{(1 + \beta_5 x_i + \beta_6 x_i^2 + \beta_7 x_i^3)^4} \right)$$

Esses padrões se repetem para todos os elementos da matriz Hessiana.

## 3.1 Resultados do Método de Newton-Raphson

O método de Newton-Raphson com regularização foi aplicado para ajustar os parâmetros do Modelo 2. No entanto, o algoritmo não convergiu para uma solução em um número aceitável de iterações, mesmo após várias tentativas de ajustes nos parâmetros e no método.

O método foi configurado para realizar no máximo 10.000 iterações, com um critério de parada baseado na norma da diferença entre os vetores de parâmetros consecutivos ( $\|\beta_{k+1} - \beta_k\| < 10^{-6}$ ). Apesar disso, o algoritmo alcançou o limite máximo de iterações sem convergir para uma solução.

O comportamento dos parâmetros ao longo das iterações foi analisado, e observou-se que os valores de alguns parâmetros cresceram de forma descontrolada, enquanto outros permaneceram relativamente estáveis. Esse comportamento está representado na Figura 3, que demonstra claramente a ausência de convergência.

Além disso, as previsões geradas pelos valores finais dos parâmetros ajustados foram comparadas aos dados observados. A Figura 4 ilustra essa comparação, indicando que as curvas ajustadas não conseguem capturar adequadamente os padrões dos dados.



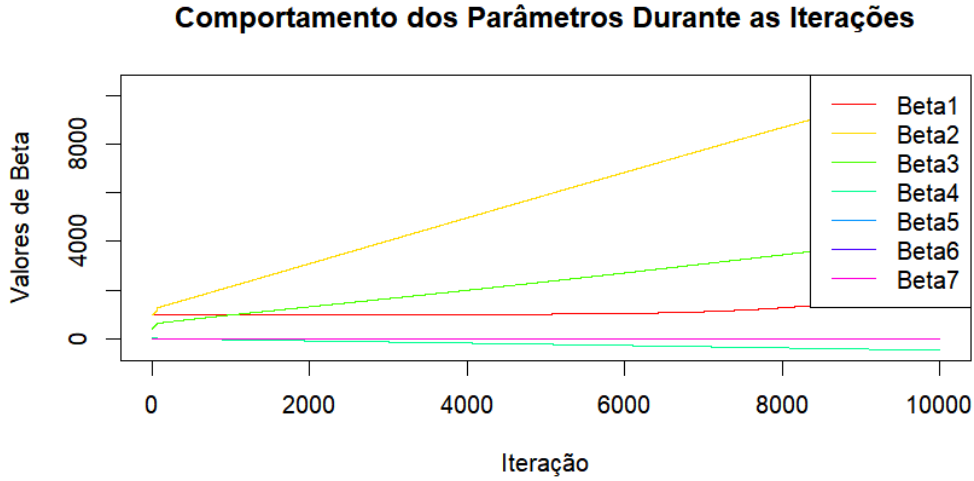


Figura 3: Comportamento dos parâmetros durante as iterações do ajuste do Modelo 2. Observe-se que os parâmetros não convergiram para valores estáveis.

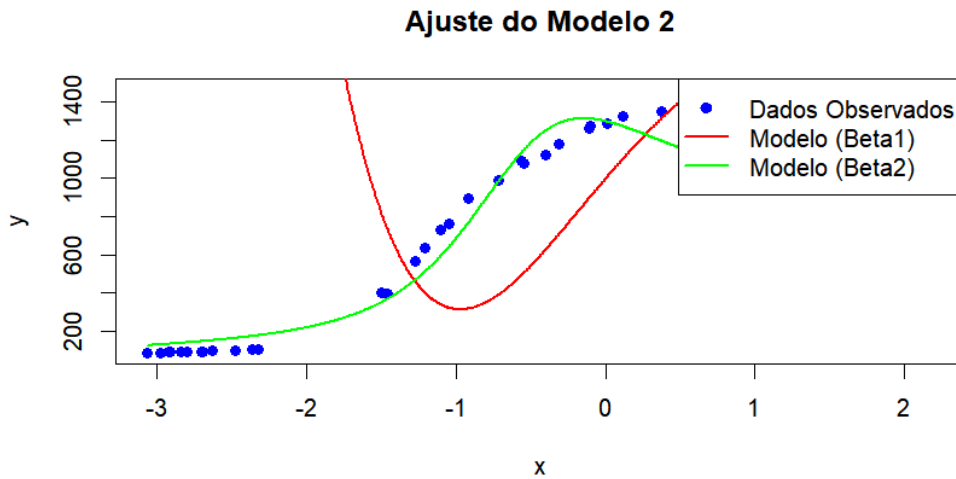


Figura 4: Comparação entre os dados observados e as previsões do Modelo 2 para os conjuntos de valores iniciais  $\beta_0$  diferentes. Nota-se que o modelo não consegue ajustar corretamente os dados.

### 3.2 Resultados do Método de Newton-Raphson com Line-Search

O método de Newton-Raphson com **line-search adaptativo** foi aplicado ao Modelo 2, considerando dois conjuntos de valores iniciais:  $\beta_{\text{init1}}$  e  $\beta_{\text{init2}}$ . Os resultados mostram uma **convergência bem-sucedida** para o primeiro conjunto ( $\beta_{\text{init1}}$ ), enquanto o segundo conjunto ( $\beta_{\text{init2}}$ ) não alcançou convergência dentro do número máximo de iterações permitido.

#### Convergência para $\beta_{\text{init1}}$

O método convergiu após 7141 iterações para os seguintes valores de parâmetros:

$$\beta_{\text{final1}} = \begin{bmatrix} 1000.0 \\ 1000.0 \\ 400.0 \\ 40.0 \\ 0.7 \\ 0.28 \\ -0.048 \end{bmatrix}.$$

Isso demonstra que, com valores iniciais adequados, o método é capaz de ajustar os dados do modelo de forma satisfatória, conforme representado nos gráficos de ajustes e comparações. A Figura 5 apresenta o comportamento da função objetivo ao longo das iterações, evidenciando uma redução progressiva até a estabilização.

#### Falha de Convergência para $\beta_{\text{init2}}$

Para o segundo conjunto de valores iniciais ( $\beta_{\text{init2}}$ ), o método não conseguiu convergir, alcançando o limite máximo de 10.000 iterações. Os parâmetros finais alcançados foram:

$$\beta_{\text{final2}} = \begin{bmatrix} 1300.0 \\ 1500.0 \\ 500.0 \\ 75.0 \\ 1.0 \\ 0.51 \\ -0.089 \end{bmatrix}.$$

Embora os valores estejam próximos de uma solução razoável, o critério de parada baseado na norma  $\|\beta_{k+1} - \beta_k\| < 10^{-6}$  não foi atendido. Isso pode indicar que:

- O conjunto  $\beta_{\text{init2}}$  está em uma região onde o método enfrenta dificuldades de convergência.
- Problemas de condicionamento da matriz Hessiana podem ter dificultado o ajuste adequado.

A Figura 5 apresenta a convergência da função objetivo para ambos os conjuntos de valores iniciais. Observa-se que, para  $\beta_{\text{init1}}$ , há uma redução contínua e gradual até atingir a convergência. Por outro lado, para  $\beta_{\text{init2}}$ , a função objetivo estabiliza sem atingir um ponto de solução satisfatório.

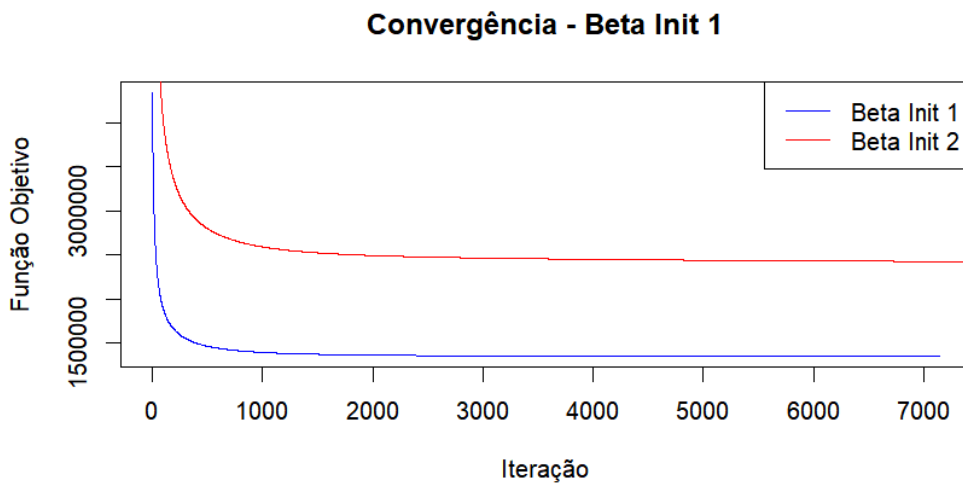


Figura 5: Convergência do Método de Newton-Raphson com Line Search para os dois conjuntos de valores iniciais ( $\beta_{\text{init1}}$  e  $\beta_{\text{init2}}$ ).

A Figura 8 apresenta o movimento da solução ao longo das iterações do método de Newton-Raphson com line-search, sobreposto às curvas de nível da função objetivo. Esse gráfico permite visualizar como a solução inicial ( $\beta_{\text{init}}$ ) se desloca em direção ao ponto de convergência.

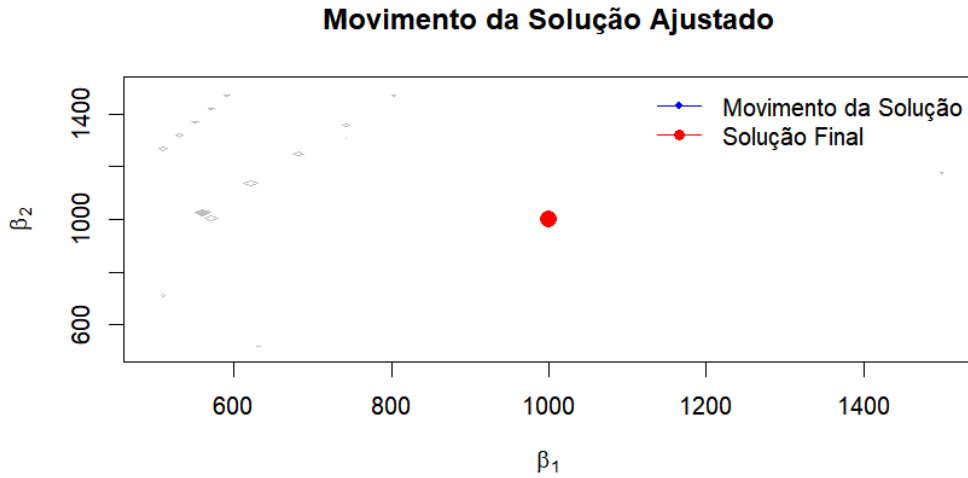


Figura 6: Movimento da solução ao longo das iterações, sobreposto às curvas de nível da função objetivo. O ponto vermelho indica a solução final alcançada pelo método.

### 3.3 Resultados do Método de Gradient Descent com Line-Search

O método de **Gradient Descent com Line-Search** foi aplicado ao **Modelo 2** utilizando os dois conjuntos de valores iniciais indicados:  $\beta_{\text{init1}}$  e  $\beta_{\text{init2}}$ . O objetivo era minimizar a função objetivo  $Q$  de forma eficiente, ajustando os parâmetros do modelo. Os resultados indicaram que o método **não convergiu** para nenhuma das duas inicializações, mesmo após 10.000 iterações.

Para  $\beta_{\text{init1}}$ , os parâmetros finais foram:

$$\beta_{\text{final1}} = \{-742.73, 10273.85, -24937.41, 72928.49, -5818842.0, 15281940.0, -45648860.0\}.$$

Para  $\beta_{\text{init2}}$ , os parâmetros finais foram:

$$\beta_{\text{final2}} = \{59516.81, -152048.60, 416498.90, -1143114.0, -383415900.0, 1065535000.0, -2980991000.0\}.$$

A função objetivo, no entanto, não alcançou valores satisfatórios, sugerindo que o método não conseguiu encontrar um mínimo local ou global.

A Figura 7 apresenta o comportamento da função objetivo regularizada ao longo das iterações para os dois conjuntos de valores iniciais.

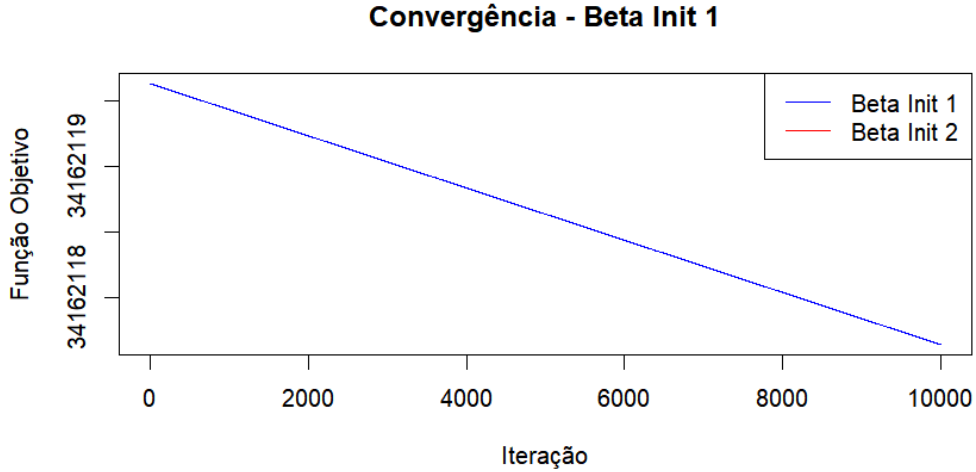


Figura 7: Comportamento da função objetivo ao longo das iterações. O método não alcançou convergência para nenhum dos conjuntos iniciais.

Embora a função objetivo tenha diminuído ligeiramente ao longo das iterações, a convergência para um valor aceitável não foi alcançada. Esse comportamento sugere que os gradientes calculados são insuficientes para guiar o método a um mínimo local ou global.

Adicionalmente, o movimento da solução ao longo das iterações foi analisado. A Figura 8 apresenta as trajetórias de  $\beta_1$  e  $\beta_2$  ao longo do processo iterativo:

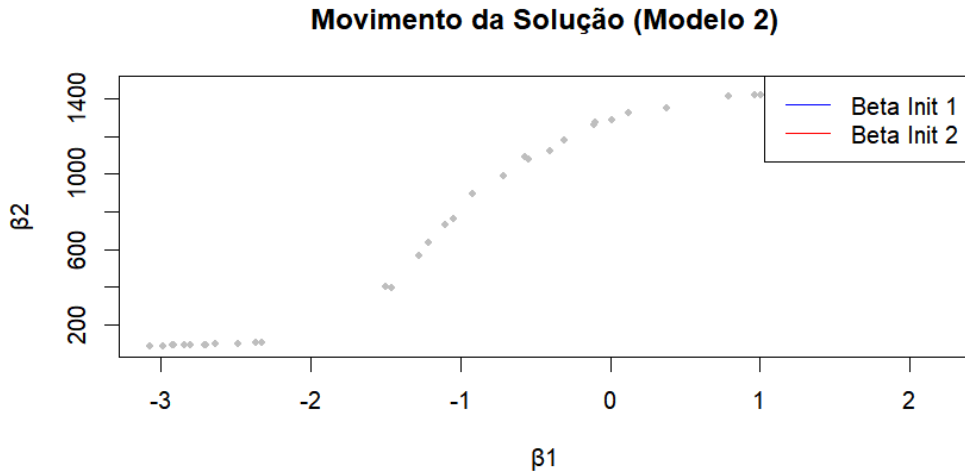


Figura 8: Movimento da solução no espaço de parâmetros  $(\beta_1, \beta_2)$  ao longo das iterações para os dois conjuntos iniciais.

Com base nos resultados obtidos, realizei as seguintes melhorias no método de Gradient Descent:

- **Diagnóstico do Gradiente:** Foi avaliado se os valores do gradiente diminuem adequadamente durante as iterações, sendo adicionada a verificação da norma do gradiente.
- **Regularização mais Forte:** O termo de regularização  $\lambda$  foi ajustado para controlar os valores extremos dos parâmetros.
- **Ajuste Dinâmico de  $\gamma$ :** Reduzi os valores iniciais dos candidatos de  $\gamma$  e adicionados ajustes dinâmicos para otimizar o tamanho do passo.

- **Normalização dos Dados:** Certifiquei de que as variáveis  $x$  e  $y$  estavam bem normalizadas para evitar instabilidades no gradiente.
- **Critério de Parada Melhorado:** Adicionei um critério baseado na norma do gradiente e na mudança relativa da função objetivo.
- **Limitação dos Valores de  $\beta$ :** Implementei restrições para evitar que os parâmetros cresçam excessivamente.

Porém, mesmo assim, não consegui obter a convergência nos pontos iniciais.

## 4 Apêndice - Código Completo

A seguir, segue o código em linguagem R utilizado neste relatório:

```

1 # Modelo 1 - Dados Misraia
2 Misraia <- data.frame(y = c(10.07, 14.73, 17.94, 23.93, 29.61,
3                             35.18, 40.02, 44.82, 50.76, 55.05,
4                             61.01, 66.4, 75.47, 81.78),
5                             x = c(77.6, 114.9, 141.1, 190.8, 239.9,
6                                 289, 332.8, 378.4, 434.8, 477.3,
7                                 536.8, 593.1, 689.1, 760))
8 beta_init1 <- c(500, 0.0001) # Primeiro valor inicial
9 beta_init2 <- c(250, 0.0005) # Segundo valor inicial
10
11 # Função para calcular o gradiente
12 gradient <- function(beta, data) {
13   y <- data$y
14   x <- data$x
15   g1 <- sum((-2 + 2 * exp(-beta[2] * x)) * (-beta[1] * (1 - exp(-beta[2] * x)) + y))
16   g2 <- sum(-2 * beta[1] * x * (-beta[1] * (1 - exp(-beta[2] * x)) + y) * exp(-beta[2] * x))
17   return(c(g1, g2))
18 }
19
20 # Função para calcular a matriz Hessiana
21 hessian <- function(beta, data) {
22   y <- data$y
23   x <- data$x
24   h11 <- sum((-2 + 2 * exp(-beta[2] * x)) * (-1 + exp(-beta[2] * x)))
25   h12 <- sum(-beta[1] * x * (-2 + 2 * exp(-beta[2] * x)) * exp(-beta[2] * x) -
26             2 * x * (-beta[1] * (1 - exp(-beta[2] * x)) + y) * exp(-beta[2] * x))
27   h21 <- h12
28   h22 <- sum(2 * beta[1]^2 * x^2 * exp(-2 * beta[2] * x) +
29             2 * beta[1] * x^2 * (-beta[1] * (1 - exp(-beta[2] * x)) + y) * exp(-beta[2] * x))
30   return(matrix(c(h11, h12, h21, h22), nrow = 2, byrow = TRUE))
31 }
32
33 # Função do método de Newton-Raphson
34 newton_raphson <- function(beta_init, data, epsilon = 1e-6, max_iter = 1000, gamma = 0.4) {
35   beta <- beta_init
36   for (i in 1:max_iter) {
37     grad <- gradient(beta, data)
38     hess <- hessian(beta, data)
39
40     hess_regularized <- hess + diag(gamma, nrow(hess))
41
42     delta_beta <- solve(hess_regularized) %*% grad
43
44     beta_new <- beta - delta_beta
45
46     if (sqrt(sum((beta_new - beta)^2)) < epsilon) {
47       return(beta_new)
48     }
49
50     beta <- beta_new
51   }
52   return(beta)
53 }
54
55 # Resultados do método de Newton-Raphson
56 result1 <- newton_raphson(beta_init1, Misraia)
57 result1
58 result2 <- newton_raphson(beta_init2, Misraia)
59 result2
60
61 # Função para calcular a função objetivo
62 objective_function <- function(beta, data) {
63   y <- data$y
64   x <- data$x
65   residuals <- y - beta[1] * (1 - exp(-beta[2] * x))
66   return(sum(residuals^2))
67 }
68
69 # Função para criar o gráfico de line search
70 line_search_plot <- function(beta, grad, hess, data, gamma_candidates) {
71   direction <- -solve(hess) %*% grad
72   objective_values <- numeric(length(gamma_candidates))
73
74   # Avalia a função objetivo para cada gamma
75   for (i in seq_along(gamma_candidates)) {
76     gamma <- gamma_candidates[i]
77     beta_new <- beta + gamma * direction
78     objective_values[i] <- objective_function(beta_new, data)
79   }
80
81   plot(gamma_candidates, objective_values, type = "b", col = "blue",
82        main = "Line Search", xlab = expression(gamma),
83        ylab = "Objective Function")
84 }
85
86 gamma_candidates <- seq(0.01, 1, by = 0.01)
87
88 # Gera o gráfico
89 line_search_plot(beta_init1, gradient(beta_init1, Misraia), hessian(beta_init1, Misraia), Misraia, gamma_candidates)
90 line_search_plot(beta_init2, gradient(beta_init2, Misraia), hessian(beta_init2, Misraia), Misraia, gamma_candidates)
91

```

```

97
98 # Função de line search
99 line_search <- function(beta, grad, hess, data, gamma_candidates) {
100   direction <- -solve(hess) %*% grad
101   for (gamma in gamma_candidates) {
102     beta_new <- beta + gamma * direction
103     if (objective_function(beta_new, data) < objective_function(beta, data)) {
104       return(list(beta_new = beta_new, gamma = gamma))
105     }
106   }
107   return(list(beta_new = beta, gamma = NA))
108 }
109
110 # Método de Newton-Raphson com line search ajustado
111 newton_raphson_ls <- function(beta_init, data, epsilon = 1e-6, max_iter = 10000, gamma_candidates) {
112   beta <- beta_init
113   for (i in 1:max_iter) {
114     grad <- gradient(beta, data)
115     hess <- hessian(beta, data)
116
117     # Verifica invertibilidade da Hessiana
118     if (det(hess) == 0) {
119       stop("A matriz Hessiana não é invertível.")
120     }
121
122     # Line search
123     ls_result <- line_search(beta, grad, hess, data, gamma_candidates)
124     beta_new <- ls_result$beta_new
125     gamma <- ls_result$gamma
126
127     cat("Iteração", i, "- Gamma:", gamma, "- Beta:", beta_new, "\n")
128
129     # Critério de parada
130     if (sqrt(sum((beta_new - beta)^2)) < epsilon) {
131       cat("Convergência atingida na iteração", i, "\n")
132       return(list(beta = beta_new, converged = TRUE))
133     }
134
135     beta <- beta_new
136   }
137   cat("Máximo de iterações alcançado sem convergência.\n")
138   return(list(beta = beta, converged = FALSE))
139 }
140
141 # Resultados para o primeiro conjunto de valores iniciais
142 result1 <- newton_raphson_ls(beta_init1, Misra1a, gamma_candidates = 0.1)
143 result1
144
145 # Resultados para o segundo conjunto de valores iniciais
146 result2 <- newton_raphson_ls(beta_init2, Misra1a, gamma_candidates = 0.5)
147 result2
148
149
150
151 # Função de descida de gradiente
152 gradient_descent_ls <- function(beta_init, data, gamma = 0.1, epsilon = 1e-6, max_iter = 1000) {
153   beta <- beta_init
154   for (k in 1:max_iter) {
155     grad <- gradient(beta, data)
156     gamma_k <- gamma * 2^(-k)
157     beta_new <- beta - gamma_k * grad
158
159     # Exibe a iteração atual
160     cat("Iteração", k, "- Gamma_k:", gamma_k, "- Beta:", beta_new, "\n")
161
162     # Critério de parada
163     if (sqrt(sum((beta_new - beta)^2)) < epsilon) {
164       cat("Convergência atingida na iteração", k, "\n")
165       return(beta_new)
166     }
167
168     beta <- beta_new
169   }
170   cat("Máximo de iterações alcançado sem convergência.\n")
171   return(beta)
172 }
173
174
175 result1 <- gradient_descent_ls(beta_init1, Misra1a)
176 result1
177
178 result2 <- gradient_descent_ls(beta_init2, Misra1a)
179 result2
180
181
182 # Função de descida de gradiente com gamma fixo
183 gradient_descent_fixed <- function(beta_init, data, gamma = 0.02, epsilon = 1e-6, max_iter = 1000) {
184   beta <- beta_init
185   for (k in 1:max_iter) {
186     grad <- gradient(beta, data)
187     beta_new <- beta - gamma * grad
188     beta_new <- pmax(beta_new, 0)
189
190     # Exibe a iteração atual
191     cat("Iteração", k, "- Gamma:", gamma, "- Beta:", beta_new, "\n")
192
193     # Critério de parada
194     if (sqrt(sum((beta_new - beta)^2)) < epsilon) {
195       cat("Convergência atingida na iteração", k, "\n")
196       return(beta_new)
197     }
198     beta <- beta_new
199   }

```

```

199 }
200
201 cat("Máximo de iterações alcançado sem convergência.\n")
202 return(beta)
203 }
204
205 result1 <- gradient_descent_fixed(beta_init1, Misra1a)
206 result1
207
208 result2 <- gradient_descent_fixed(beta_init2, Misra1a)
209 result2
210
211
212
213 #Modelo 2 - Dados Thurber
214 Thurber <- data.frame(y = c(80.574, 84.248, 87.264, 87.195, 89.076, 89.608,
215 89.868, 90.101, 92.405, 95.854, 100.696, 101.06,
216 401.672, 390.724, 567.534, 635.316, 733.054,
217 759.087, 894.206, 990.785, 1090.109, 1080.914,
218 1122.643, 1178.351, 1260.531, 1273.514, 1288.339,
219 1327.543, 1353.863, 1414.509, 1425.208, 1421.384,
220 1442.962, 1464.35, 1468.705, 1447.894, 1457.628),
221 x = c(-3.067, -2.981, -2.921, -2.912, -2.84, -2.797,
222 -2.702, -2.699, -2.633, -2.481, -2.363, -2.322,
223 -1.501, -1.46, -1.274, -1.212, -1.1, -1.046,
224 -0.915, -0.714, -0.566, -0.545, -0.4, -0.309,
225 -0.109, -0.103, 0.01, 0.119, 0.377, 0.79, 0.963,
226 1.006, 1.115, 1.572, 1.841, 2.047, 2.2))
227
228 beta0_chapeu_thurber_1 <- c(1000, 1000, 400, 40, 0.7, 0.3, 0.03)
229 beta0_chapeu_thurber_2 <- c(1300, 1500, 500, 75, 1, 0.4, 0.05)
230
231 # Gradiente
232 gradient_thurber <- function(beta, data) {
233   x <- data$x
234   y <- data$y
235
236   num <- beta[1] + beta[2] * x + beta[3] * x^2 + beta[4] * x^3
237   denom <- 1 + beta[5] * x + beta[6] * x^2 + beta[7] * x^3
238   f <- num / denom
239
240   grad <- numeric(7)
241   grad[1] <- sum(-2 * (y - f) / denom)
242   grad[2] <- sum(-2 * x * (y - f) / denom)
243   grad[3] <- sum(-2 * x^2 * (y - f) / denom)
244   grad[4] <- sum(-2 * x^3 * (y - f) / denom)
245   grad[5] <- sum(2 * x * (y - f) * (num / denom^2))
246   grad[6] <- sum(2 * x^2 * (y - f) * (num / denom^2))
247   grad[7] <- sum(2 * x^3 * (y - f) * (num / denom^2))
248
249   return(grad)
250 }
251
252 #Hessiana
253 hessian_thurber <- function(beta, data) {
254   x <- data$x
255   y <- data$y
256   num <- beta[1] + beta[2] * x + beta[3] * x^2 + beta[4] * x^3
257   denom <- 1 + beta[5] * x + beta[6] * x^2 + beta[7] * x^3
258   f <- num / denom
259   hessian <- matrix(0, nrow = 7, ncol = 7)
260
261   for (i in 1:length(x)) {
262
263     common_term <- y[i] - f[i]
264     d1 <- 1 / denom[i]
265     d2 <- num[i] / denom[i]^2
266     d3 <- denom[i]^3
267     d4 <- denom[i]^4
268
269     # Diagonais principais
270     hessian[i, 1] <- hessian[1, i] + 2 * d1^2
271     hessian[2, i] <- hessian[i, 2] + 2 * (x[i] * d1)^2
272     hessian[3, i] <- hessian[i, 3] + 2 * (x[i]^2 * d1)^2
273     hessian[4, i] <- hessian[i, 4] + 2 * (x[i]^3 * d1)^2
274     hessian[5, i] <- hessian[i, 5] + 2 * x[i]^2 * ((-4 * common_term * d2) + (num[i] * x[i]^2 / d4))
275     hessian[6, i] <- hessian[i, 6] + 2 * x[i]^4 * ((-4 * common_term * d2) + (num[i] * x[i]^4 / d4))
276     hessian[7, i] <- hessian[i, 7] + 2 * x[i]^6 * ((-4 * common_term * d2) + (num[i] * x[i]^6 / d4))
277
278     # Termos cruzados
279     for (j in 1:7) {
280       for (k in j:7) {
281         if (j <= 4 && k <= 4) {
282           hessian[j, k] <- hessian[j, k] + 2 * (x[i]^(j - 1) * x[i]^(k - 1) * d1^2)
283         } else if (j > 4 || k > 4) {
284           # Interações cruzadas com beta_5, beta_6, beta_7
285           hessian[j, k] <- hessian[j, k] +
286             2 * (x[i]^(j - 4) * x[i]^(k - 4) *
287               ((common_term * d2) - (num[i] * x[i]^(j + k - 8) / d4)))
288         }
289       }
290     }
291   }
292
293   hessian[lower.tri(hessian)] <- t(hessian)[lower.tri(hessian)]
294
295   return(hessian)
296 }
297
298
299 # Função do método de Newton-Raphson
300 newton_raphson_thurber <- function(beta_init, data, epsilon = 1e-6, max_iter = 10000, gamma = 1, max_gamma_iter = 10) {

```



```

301 x <- data$x
302 y <- data$y
303
304 beta <- beta_init
305
306 for (i in 1:max_iter) {
307   grad <- gradient_thurber(beta, data)
308   hess <- hessian_thurber(beta, data)
309
310   gamma_adjust <- gamma
311   success <- FALSE
312   for (gamma_iter in 1:max_gamma_iter) {
313     hess_regularized <- hess + diag(gamma_adjust, nrow(hess))
314     eigenvalues <- eigen(hess_regularized)$values
315     if (all(is.finite(eigenvalues)) && min(abs(eigenvalues)) > 1e-10) {
316       success <- TRUE
317       break # Hessiana regularizada é aceitável
318     }
319     gamma_adjust <- gamma_adjust * 10 # Aumenta gamma
320   }
321
322   if (!success) {
323     cat("Hessiana regularizada ainda singular na iteração", i, "\n")
324     return(beta)
325   }
326
327   # Calcula o passo de atualização
328   delta_beta <- tryCatch({
329     solve(hess_regularized, grad)
330   }, error = function(e) {
331     cat("Erro ao resolver o sistema na iteração", i, "\n")
332     return(rep(NA, length(beta)))
333   })
334
335   # Verifica se delta_beta é válido
336   if (any(is.na(delta_beta))) {
337     cat("Delta beta inválido na iteração", i, "\n")
338     return(beta)
339   }
340
341   # Reduz o tamanho do passo se necessário
342   step_size <- sqrt(sum(delta_beta^2))
343   if (step_size > 10) {
344     delta_beta <- delta_beta / step_size
345   }
346
347   beta_new <- beta - delta_beta
348
349   # Critério de parada
350   if (sqrt(sum((beta_new - beta)^2)) < epsilon) {
351     cat("Convergência atingida na iteração", i, "\n")
352     return(beta_new)
353   }
354
355   beta <- beta_new
356 }
357
358 cat("Máximo de iterações alcançado sem convergência.\n")
359 return(beta)
360 }
361
362 resultado1 <- newton_raphson_thurber(beta0_chapeu_thurber_1, Thurber)
363 resultado1
364
365 resultado2 <- newton_raphson_thurber(beta0_chapeu_thurber_2, Thurber)
366 resultado2
367
368 # Função objetivo
369 objective_function <- function(beta, data) {
370   y <- data$y
371   x <- data$x
372   num <- beta[1] + beta[2] * x + beta[3] * x^2 + beta[4] * x^3
373   denom <- 1 + beta[5] * x + beta[6] * x^2 + beta[7] * x^3
374   residuals <- y - (num / denom)
375   return(sum(residuals^2))
376 }
377
378 # Função para realizar line-search utilizando um grid de valores para
379 line_search <- function(beta, grad, hess, data, gamma_candidates) {
380   direction <- -solve(hess) %*% grad
381   best_gamma <- NA
382   best_objective <- Inf
383
384   for (gamma in gamma_candidates) {
385     beta_new <- beta + gamma * direction
386     obj_value <- objective_function(beta_new, data)
387     if (obj_value < best_objective) {
388       best_objective <- obj_value
389       best_gamma <- gamma
390     }
391   }
392 }
393
394 return(best_gamma)
395 }
396
397 # Função de Newton-Raphson com Line Search
398 newton_raphson_line_search <- function(beta_init, data, epsilon = 1e-6, max_iter = 10000, gamma_candidates = seq(0.01, 0.1, by
399   = 0.01)) {
400   beta <- beta_init
401   objective_values <- c()
402   beta_history <- matrix(NA, nrow = max_iter, ncol = length(beta_init))

```

```

402   for (i in 1:max_iter) {
403     grad <- gradient_thurber(beta, data)
404     hess <- hessian_thurber(beta, data)
405
406     # Regularização robusta da Hessiana
407     hess_regularized <- hess + diag(max(abs(hess)) * 0.1, nrow(hess))
408
409     # Verifica se a Hessiana regularizada é invertível
410     if (det(hess_regularized) == 0) {
411       cat("Hessiana singular na iteração", i, "\n")
412       break
413     }
414
415     # Line-search adaptativo
416     gamma <- line_search(beta, grad, hess_regularized, data, gamma_candidates)
417     direction <- -solve(hess_regularized) %*% grad
418     beta_new <- beta + gamma * direction
419
420     # Limita o tamanho do passo
421     step_size <- sqrt(sum(direction^2))
422     if (step_size > 1) {
423       beta_new <- beta + (direction / step_size)
424     }
425     obj_value <- objective_function(beta_new, data)
426     objective_values <- c(objective_values, obj_value)
427     beta_history[i, ] <- beta_new
428
429     # Critério de parada
430     if (sqrt(sum((beta_new - beta)^2)) < epsilon) {
431       cat("Convergência atingida na iteração", i, "\n")
432       return(list(beta = beta_new, objective_values = objective_values, beta_history = beta_history[1:i, ]))
433     }
434
435     beta <- beta_new
436   }
437
438   cat("Máximo de iterações alcançado sem convergência.\n")
439   return(list(beta = beta, objective_values = objective_values, beta_history = beta_history))
440 }
441
442 resultado1 <- newton_raphson_line_search(beta0_chapeu_thurber_1, Thurber)
443 resultado1$beta
444
445 resultado2 <- newton_raphson_line_search(beta0_chapeu_thurber_2, Thurber)
446 resultado2$beta
447
448 #Gráfico de convergência
449 plot(resultado1$objective_values, type = "l", col = "blue", xlab = "Iteração",
450       ylab = "Função Objetivo", main = "Convergência - Beta Init 1")
451 lines(resultado2$objective_values, col = "red")
452 legend("topright", legend = c("Beta Init 1", "Beta Init 2"), col = c("blue", "red"), lty = 1)
453
454 # Função para realizar line-search adaptativo
455 line_search <- function(beta, grad, data, direction, gamma_candidates) {
456   best_gamma <- NA
457   best_objective <- Inf
458
459   for (gamma in gamma_candidates) {
460     beta_new <- beta + gamma * direction
461     obj_value <- objective_function(beta_new, data)
462     if (obj_value < best_objective) {
463       best_objective <- obj_value
464       best_gamma <- gamma
465     }
466   }
467
468   return(best_gamma)
469 }
470
471 # Função de Normalização dos Dados
472 normalize_data <- function(data) {
473   data$x <- scale(data$x)
474   data$y <- scale(data$y)
475   return(data)
476 }
477
478 # Função Objetivo Regularizada
479 objective_function_regularized <- function(beta, data, lambda = 1e-3) {
480   y <- data$y
481   x <- data$x
482   num <- beta[1] + beta[2] * x + beta[3] * x^2 + beta[4] * x^3
483   denom <- 1 + beta[5] * x + beta[6] * x^2 + beta[7] * x^3
484   residuals <- y - (num / denom)
485   return(sum(residuals^2) + lambda * sum(beta^2)) # Penalização L2
486 }
487
488 # Busca de Linha com Grid
489 line_search <- function(beta, grad, data, direction, gamma_candidates, lambda = 1e-3) {
490   best_gamma <- NA
491   best_objective <- Inf
492
493   for (gamma in gamma_candidates) {
494     beta_new <- beta + gamma * direction
495     obj_value <- objective_function_regularized(beta_new, data, lambda)
496     if (obj_value < best_objective) {
497       best_objective <- obj_value

```

```

504     best_gamma <- gamma
505   }
506 }
507 return(best_gamma)
508 }
509
510 # # Função de Gradient Descent com Line-Search adaptativo
511 gradient_descent_line_search <- function(beta_init, data, gamma_candidates = seq(0.001, 0.2, by = 0.001),
512                                         epsilon = 1e-6, max_iter = 10000, lambda = 1e-3) {
513   beta <- beta_init
514   objective_values <- c()
515   beta_history <- matrix(NA, nrow = max_iter, ncol = length(beta_init))
516
517   for (i in 1:max_iter) {
518     grad <- gradient_thurber(beta, data)
519     direction <- -grad
520
521     gamma <- line_search(beta, grad, data, direction, gamma_candidates, lambda)
522     if (is.na(gamma)) {
523       cat("Não foi possível encontrar um tamanho de passo adequado na iteração", i, "\n")
524       break
525     }
526
527     # Atualização dos Parâmetros
528     beta_new <- beta + gamma * direction
529     obj_value <- objective_function_regularized(beta_new, data, lambda)
530     objective_values <- c(objective_values, obj_value)
531     beta_history[i, ] <- beta_new
532
533     # Monitoramento do Gradiente
534     cat(sprintf("Iteração %d: Norma do Gradiente = %.5f\n", i, sqrt(sum(grad^2))))
535
536     # Critério de Parada
537     if (sqrt(sum((beta_new - beta)^2)) < epsilon) {
538       cat("Convergência atingida na iteração", i, "\n")
539       return(list(beta = beta_new, objective_values = objective_values, beta_history = beta_history[1:i, ]))
540     }
541
542     beta <- beta_new
543   }
544
545   cat("Máximo de iterações alcançado sem convergência.\n")
546   return(list(beta = beta, objective_values = objective_values, beta_history = beta_history))
547 }
548
549 # Normalização dos Dados
550 Thurber_normalized <- normalize_data(Thurber)
551
552 resultado1 <- gradient_descent_line_search(beta0_chapeu_thurber_1, Thurber_normalized)
553 resultado2 <- gradient_descent_line_search(beta0_chapeu_thurber_2, Thurber_normalized)
554
555 # Gráfico de Convergência
556 plot(resultado1$objective_values, type = "l", col = "blue", xlab = "Iteração",
557       ylab = "Função Objetivo Regularizada", main = "Convergência - Beta Init 1 e Beta Init 2")
558 lines(resultado2$objective_values, col = "red")
559 legend("topright", legend = c("Beta Init 1", "Beta Init 2"), col = c("blue", "red"), lty = 1)
560
561 #Gráfico do movimento da solução
562 beta_history1 <- resultado1$beta_history
563 beta_history2 <- resultado2$beta_history
564
565 plot(Thurber$x, Thurber$y, pch = 20, col = "gray", main = "Movimento da Solução (Modelo 2)",
566     xlab = " 1 ", ylab = " 2 ")
567 lines(beta_history1[, 1], beta_history1[, 2], type = "b", col = "blue", lty = 1)
568 points(beta_history2[, 1], beta_history2[, 2], type = "b", col = "red", pch = 19)
569 legend("topright", legend = c("Beta Init 1", "Beta Init 2"), col = c("blue", "red"), lty = 1)
570

```

## Referências

- [1] Greene, W. H. *Econometric Analysis*. Pearson, New York, NY, 2008.
- [2] National Institute of Standards and Technology (NIST). “Statistical Reference Datasets for Nonlinear Regression.” Disponível em: <https://www.itl.nist.gov/div898/strd/>.
- [3] Cannon, Ann R., George W. Cobb, Bradley A. Hartlaub, Julie M. Legler, Robin H. Lock, Thomas L. Moore, Allan J. Rossman, and Jeffrey Witmer. *Stat2: Building Models for a World of Data*. Worth, 2012.
- [4] Devore, Jay L. *Probability and Statistics for Engineering and the Sciences*. Cengage Learning, 2011.
- [5] Nelder, John A., and Roger Mead. “A Simplex Method for Function Minimization.” *The Computer Journal*, 7(4): 308–13, 1965.
- [6] Nocedal, Jorge, and Stephen Wright. *Numerical Optimization*. Springer, 2006.